

第六章 信号与系统的复 频域分析



6.0 引言

6.1 拉普拉斯变换

6.2 常用拉普拉斯变换对

6.3 拉普拉斯变换的性质

6.4 周期信号的拉普拉斯变换

6.5 拉普拉斯反变换

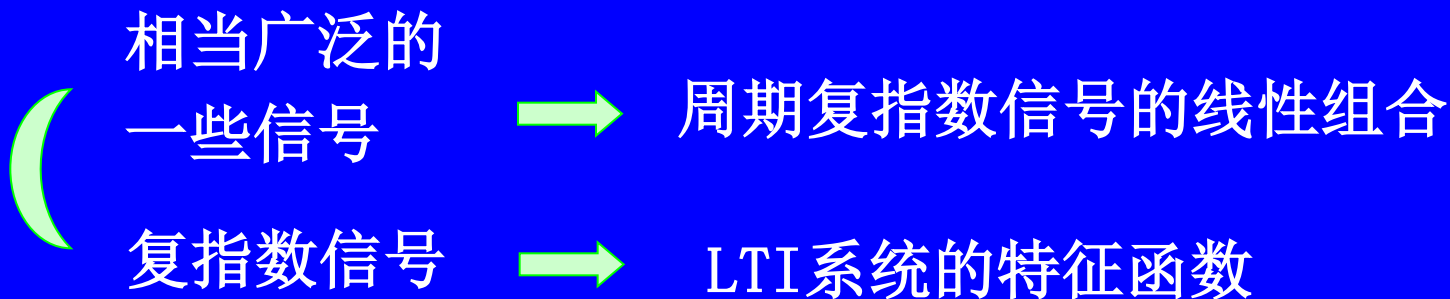
6.6 单边拉普拉斯变换

6.7 系统的复频域分析



6.0 引言

傅立叶分析



连续时间傅立叶变换



拉普拉斯变换



6.1 拉普拉斯变换

6.1.1 从傅里叶变换到拉普拉斯变换

一个信号 $x(t)$ 的复里叶变换的存在条件是该信号绝对可积，但有很多重要信号不满足该条件。

对那些是因为当 $x \rightarrow \infty$ 时 $x(t)$ 不为零而不满足绝对可积条件的 $x(t)$ ，我们引入一个衰减因子 $e^{-\sigma t}$ ，使得对合适的 σ ， $x(t)e^{-\sigma t}$ 是绝对可积条件的。



$$F\{x(t)e^{-\sigma t}\} = \int_{-\infty}^{\infty} x(t)e^{-\sigma t} e^{-j\omega t} dt = \int_{-\infty}^{\infty} x(t)e^{-(\sigma+j\omega)t} dt$$

$$X(\sigma + j\omega) = \int_{-\infty}^{\infty} x(t)e^{-(\sigma+j\omega)t} dt$$

$$x(t)e^{-\sigma t} = F^{-1}\{X(\sigma + j\omega)\} = \frac{1}{2\pi} \int_{-\infty}^{\infty} X(\sigma + j\omega)e^{j\omega t} d\omega$$

$$x(t) = \frac{1}{2\pi} \int_{-\infty}^{\infty} X(\sigma + j\omega)e^{(\sigma+j\omega)t} d\omega$$



令 $s = \sigma + j\omega$

定义
$$X(s) \triangleq \int_{-\infty}^{+\infty} x(t) e^{-st} dt$$

为 $x(t)$ 的拉普拉斯（正）变换 $L\{x(t)\}$

$$x(t) \xleftrightarrow{L} X(s)$$

$$x(t) = \frac{1}{2\pi j} \int_{\sigma-\infty}^{\sigma+\infty} X(s) e^{st} ds$$

为 $x(t)$ 的拉普拉斯反变换 $L^{-1}\{x(t)\}$



$$X(s) = \int_{-\infty}^{+\infty} x(t)e^{-st} dt$$

双边拉普拉斯变换



$$x(t)u(t)$$



$$X(s) = \int_0^{+\infty} x(t)e^{-st} dt$$

单边拉普拉斯变换



$s=j\omega$

$$X(j\omega) = \int_{-\infty}^{+\infty} x(t)e^{-j\omega t} dt$$

傅立叶变换

即

$$X(s) \Big|_{s=j\omega} = F\{x(t)\}$$

$$s = \sigma + j\omega$$

$$X(\sigma + j\omega) = \int_{-\infty}^{+\infty} x(t)e^{-j(\sigma + j\omega)t} dt$$

或

$$X(\sigma + j\omega) = \int_{-\infty}^{+\infty} [x(t)e^{-\sigma t}] e^{-j\omega t} dt$$

$x(t)e^{-\sigma t}$ 的傅立叶变换



例 6.1 $x(t) = e^{-at}u(t)$ $a > 0$ 时, 傅立叶变换 $X(j\omega)$ 收敛

$$X(j\omega) = \int_0^{+\infty} e^{-at} e^{-j\omega t} dt = \frac{1}{a + j\omega}, \quad a > 0$$

$$X(s) = \int_{-\infty}^{+\infty} e^{-at} u(t) e^{-st} dt = \int_0^{+\infty} e^{-(s+a)t} dt$$

$$X(s) = \frac{1}{s + a}, \text{Re}\{s\} > -a \quad s = \sigma + j\omega, \quad \sigma = \text{Re}\{s\}$$

$$e^{-at}u(t) \leftrightarrow \frac{1}{s + a}, \text{Re}\{s\} > -a$$



例 6.2

$$x(t) = -e^{-at}u(-t)$$

$$\begin{aligned} X(s) &= -\int_{-\infty}^{+\infty} e^{-at} e^{-st} u(-t) dt = -\int_{-\infty}^0 e^{-(s+a)t} dt \\ &= \frac{1}{s+a}, \quad \text{Re}\{s\} < -a \end{aligned}$$

$$-e^{-at}u(-t) \xleftrightarrow{L} \frac{1}{s+a}, \text{Re}\{s\} < -a$$



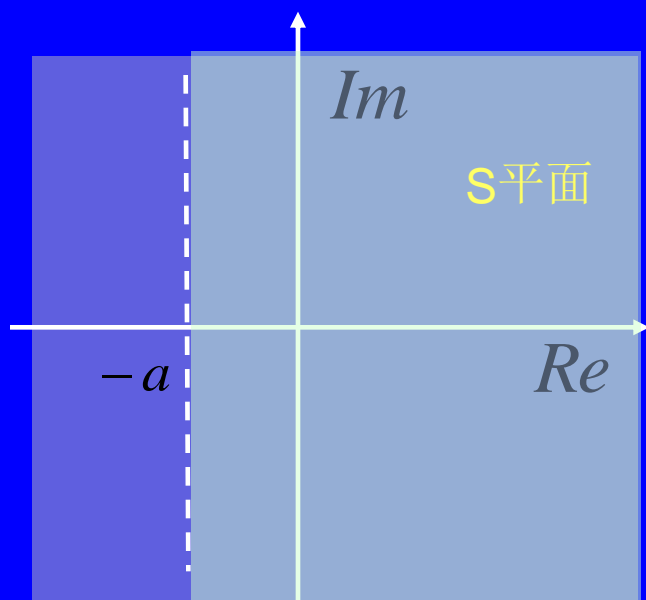
6.1.2 拉普拉斯变换的收敛域

$$X(s) \triangleq \int_{-\infty}^{+\infty} x(t)e^{-st} dt$$

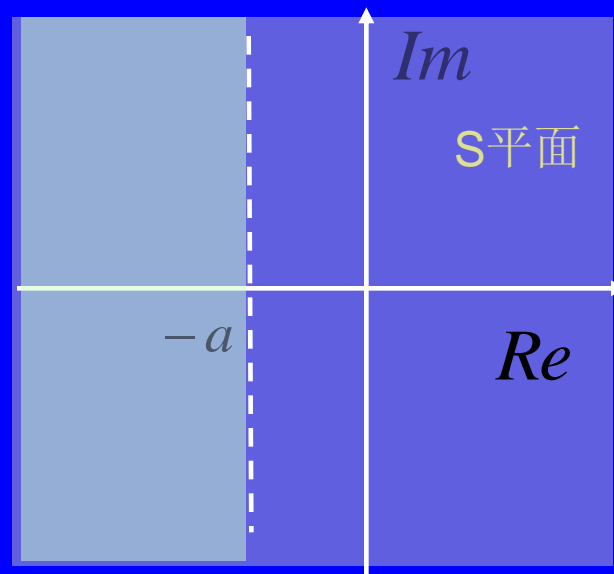
使上式收敛的s值的范围称为拉普拉斯变换的收敛域，简记为**ROC (Region of Convergence)**

使 $x(t)e^{-\sigma t}$ 的傅立叶变换收敛的s值 ($s = \sigma + j\omega$)





例 6.1



例 6.2



例 6.3 $x(t) = 3e^{-2t}u(t) - 2e^{-t}u(t)$

$$\begin{aligned} X(s) &= \int_{-\infty}^{+\infty} [3e^{-2t}u(t) - 2e^{-t}u(t)]e^{-st}dt \\ &= 3\int_{-\infty}^{+\infty} e^{-2t}e^{-st}u(t)dt - 2\int_{-\infty}^{\infty} e^{-t}e^{-st}u(t)dt \end{aligned}$$

$$X(s) = \frac{3}{s+2} - \frac{2}{s+1}$$

$$e^{-t}u(t) \leftrightarrow \frac{1}{s+1}, \boxed{\operatorname{Re}\{s\} > -1} \quad e^{-2t}u(t) \leftrightarrow \frac{1}{s+2}, \boxed{\operatorname{Re}\{s\} > -2}$$

$$3e^{-2t}u(t) - 2e^{-t}u(t) \leftrightarrow \frac{s-1}{s^2+3s+2}, \boxed{\operatorname{Re}\{s\} > -1}$$



例 6.4 $x(t) = e^{-2t}u(t) + e^{-t}(\cos 3t)u(t)$

欧拉关系 $\longrightarrow x(t) = \left[e^{-2t} + \frac{1}{2}e^{-(1-3j)t} + \frac{1}{2}e^{-(1+3j)t} \right] u(t)$

$$X(s) = \int_{-\infty}^{+\infty} e^{-2t}u(t)e^{-st}dt + \frac{1}{2} \int_{-\infty}^{+\infty} e^{-(1-3j)t}u(t)e^{-st}dt + \frac{1}{2} \int_{-\infty}^{+\infty} e^{-(1+3j)t}u(t)e^{-st}dt$$

$$e^{-2t}u(t) \leftrightarrow \frac{1}{s+2}, \quad \text{Re}\{s\} > -2$$

$$e^{-(1-3j)t}u(t) \leftrightarrow \frac{1}{s+(1-3j)}, \quad \text{Re}\{s\} > -1$$



$$e^{-(1+3j)t}u(t) \leftrightarrow \frac{1}{s+(1+3j)}, \quad \text{Re}\{s\} > -1$$

$$X(s) = \frac{1}{s+2} + \frac{1}{2} \left(\frac{1}{s+(1-3j)} \right) + \frac{1}{2} \left(\frac{1}{s+(1+3j)} \right), \quad \text{Re}\{s\} > -1$$

$$e^{-2t}u(t) + e^{-2t}(\cos 3t)u(t) \xleftrightarrow{L} \frac{2s^2 + 5s + 12}{(s^2 + 2s + 10)(s+2)}, \quad \text{Re}\{s\} > -1$$



6.1.3 拉普拉斯变换的零极点图

$$X(s) = \frac{N(s)}{D(s)} = \frac{\sum_0^{m+1} b_m s^m}{\sum_0^{n+1} b_n s^n}, \quad n > m \quad \text{有理式}$$

$N(s)$ — 分子多项式

$D(s)$ — 分母多项式

只要 $x(t)$ 是实指数或复指数信号的线性组合,
 $X(s)$ 一定是有理的。



有理拉普拉斯变换

分子多项式的根: $X(s)=0$, $X(s)$ 的零点

分母多项式的根: $X(s)$ 无界, $X(s)$ 的极点

$X(s)$ 的零极点图 S 平面内的极点和零点的 $X(s)$ 的表示

有理拉普拉斯变换 \longrightarrow 变换的零极点图 + ROC

方便 形象



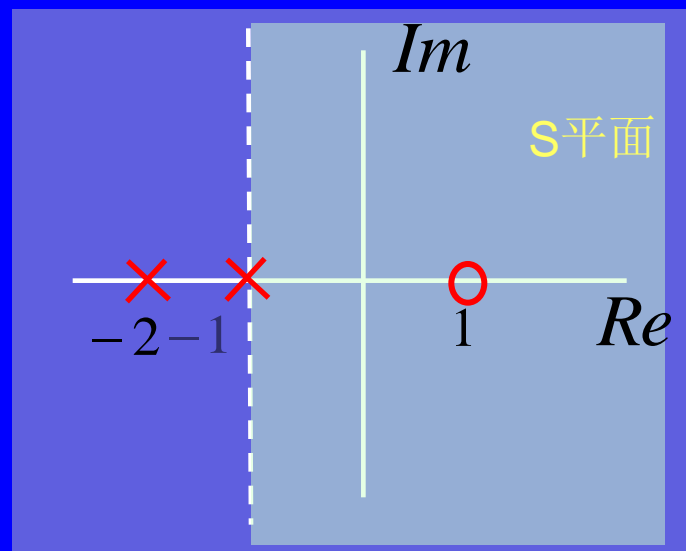
在S平面内标出 $N(s)$ 和 $D(s)$ 的根的位置，并指出收敛域
ROC

× — 分母多项式的根 的位置 ○ — 分子多项式的根 的位置

例 6.3 $3e^{-2t}u(t) - 3e^{-t}u(t) \leftrightarrow \frac{s-1}{s^2+3s+2}, \text{Re}\{s\} > -1$

O: $s = 1$

X: $s = -1, s = -2$

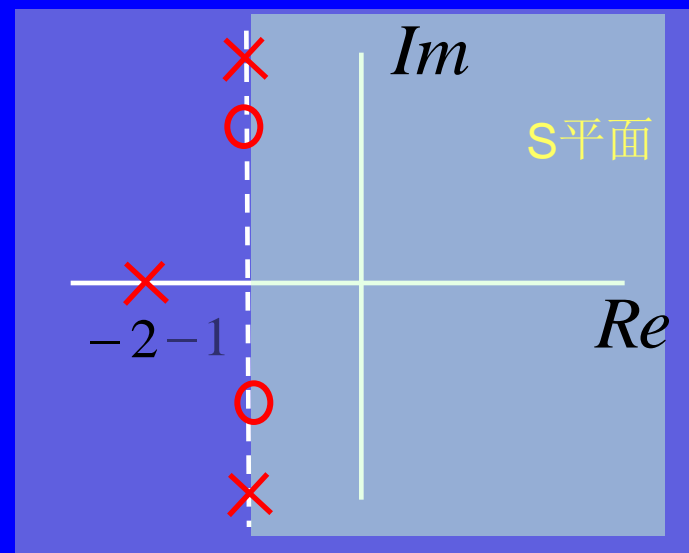


例 6.4

$$e^{-2t}u(t) + e^{-2t}(\cos 3t)u(t) \xleftrightarrow{L} \frac{2s^2 + 5s + 12}{(s^2 + 2s + 10)(s + 2)}, \quad \text{Re}\{s\} > -1$$

$$O: s = -\frac{5}{4} \pm j\sqrt{71}$$

$$\times: s = -1 \pm j3, \quad s = -2$$



例 6.5 $x(t) = \delta(t) - \frac{4}{3}e^{-t}u(t) + \frac{1}{3}e^{2t}u(t)$

$$L\{\delta(t)\} = \int_{-\infty}^{+\infty} \delta(t)e^{-st}dt = 1 \quad \text{ROC: 整个s平面}$$

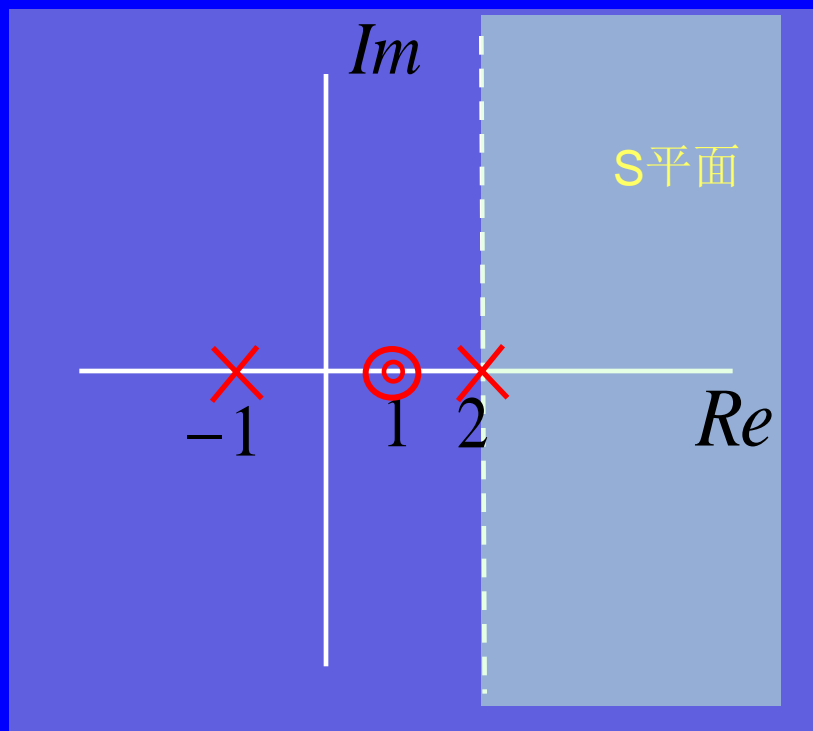
$$X(s) = 1 - \frac{4}{3} \frac{1}{s+1} + \frac{1}{3} \frac{1}{s-2}, \operatorname{Re}\{s\} > 2$$

或

$$X(s) = \frac{(s-1)^2}{(s+1)(s-2)}, \operatorname{Re}\{s\} > 2$$



例 6.5 的零极图 和 ROC



重复次数：阶数

$S=1$ ：二阶零点



6.1.4 拉普拉斯变换的收敛域特性

性质1: $X(s)$ 的ROC在 s 平面内由平行于 $j\omega$ 轴的带状区域所组成。

$X(s)$ 的ROC \longrightarrow 使 $x(t)e^{-\sigma t}$ 的傅立叶变换收敛的 s 值
($s = \sigma + j\omega$)

即

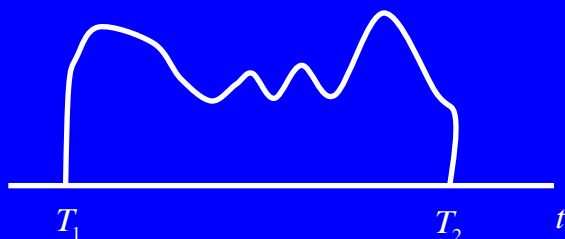
$$\int_{-\infty}^{+\infty} |x(t)| e^{-\sigma t} dt < \infty \quad x(t)e^{-\sigma t} \text{ 绝对可积}$$

只与 σ 有关

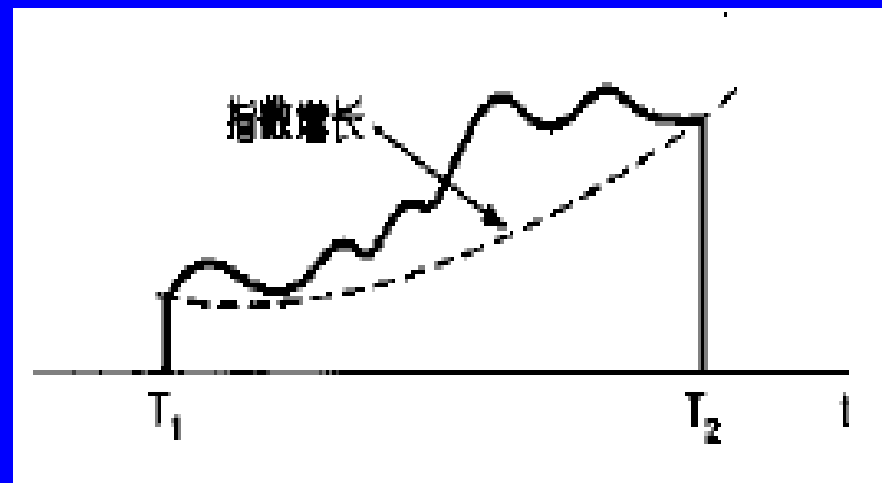
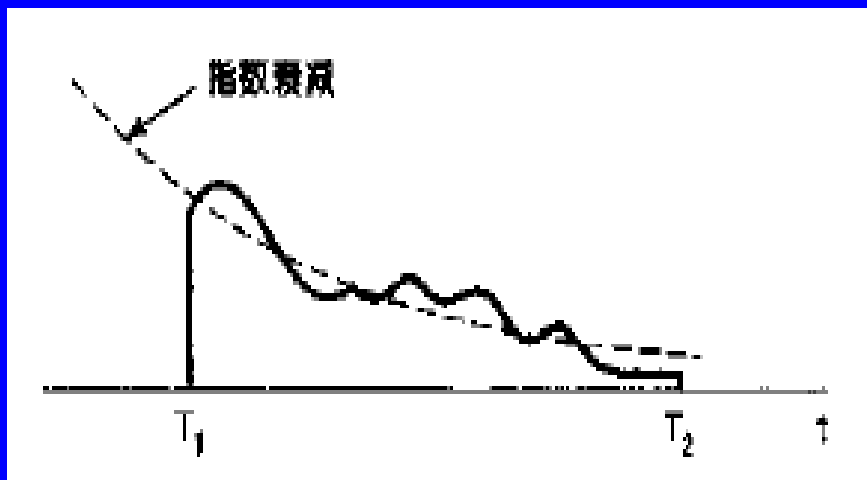
性质2: 对有理拉普拉斯变换, ROC不包括任何极点



性质3: 如果 $x(t)$ 是有限持续期, 并且是绝对可积的, 那么ROC就是整个 s 平面.

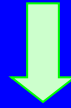


有限持续时间信号



证明

设 $x(t)$ 绝对可积 $\int_{T_1}^{T_2} |x(t)| < \infty$



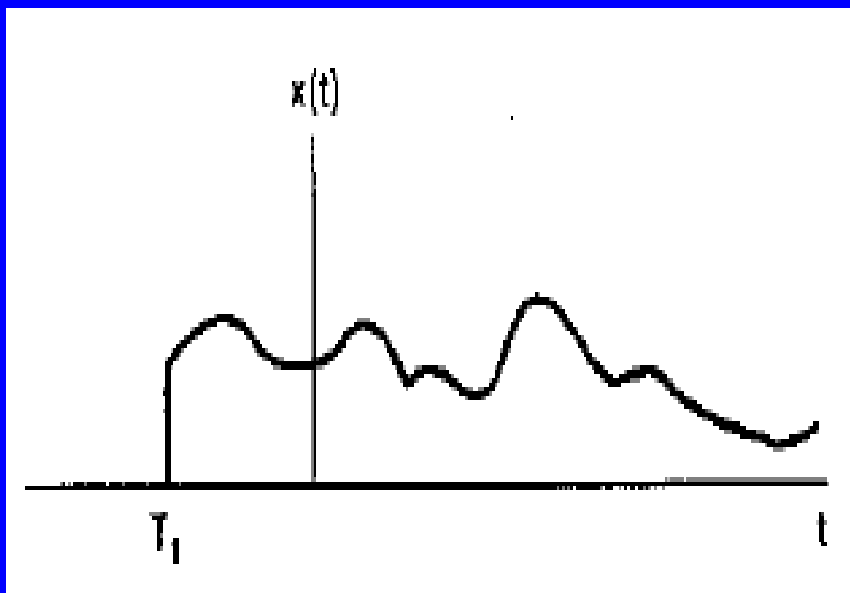
$$\sigma = 0 \quad \int_{T_1}^{T_2} |x(t)| e^{-\sigma t} dt < \infty$$

$$\sigma > 0 \quad \int_{T_1}^{T_2} |x(t)| e^{-\sigma t} dt < e^{-\sigma T_1} \int_{T_1}^{T_2} |x(t)| dt$$

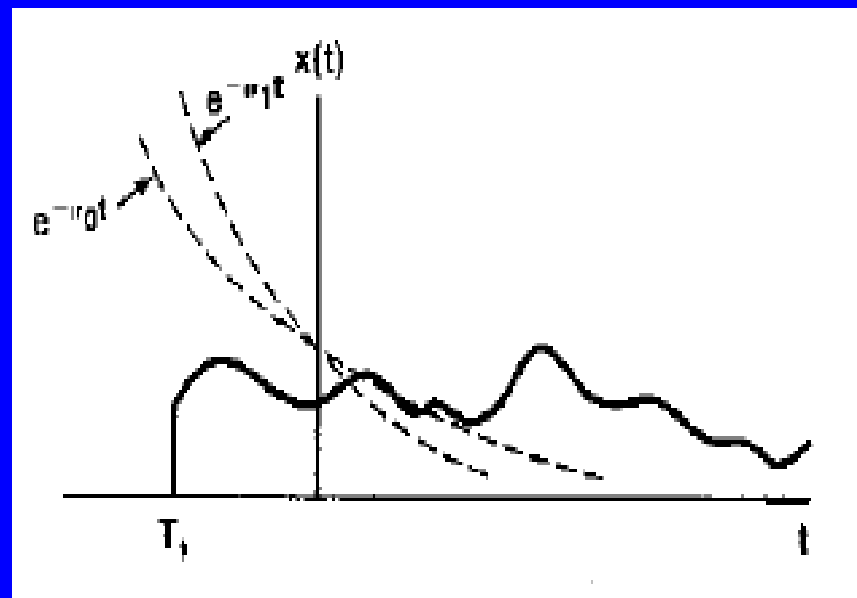
$$\sigma < 0 \quad \int_{T_1}^{T_2} |x(t)| e^{-\sigma t} dt < e^{-\sigma T_2} \int_{T_1}^{T_2} |x(t)| dt$$



性质4: 如果 $x(t)$ 是右边信号, 而且如果 $\text{Re}\{s\} = \sigma_0$ 这条线位于ROC内, 那么 $\text{Re}\{s\} > \sigma_0$ 的全部 s 值都一定在ROC内。



右边信号 $x(t)$



$\sigma_1 > \sigma_0$, $e^{-\sigma_1 t}$ 衰减比 $e^{-\sigma_0 t}$ 快



如果 $\int_{-\infty}^{\infty} |x(t)| e^{-\sigma_0 t} dt < \infty$

右边信号，等效为 $\int_{T_1}^{\infty} |x(t)| e^{-\sigma_0 t} dt < \infty$

如果 $\sigma_1 > \sigma_0$ $t \rightarrow \infty$, $e^{-\sigma_1 t}$ 衰减比 $e^{-\sigma_0 t}$ 快

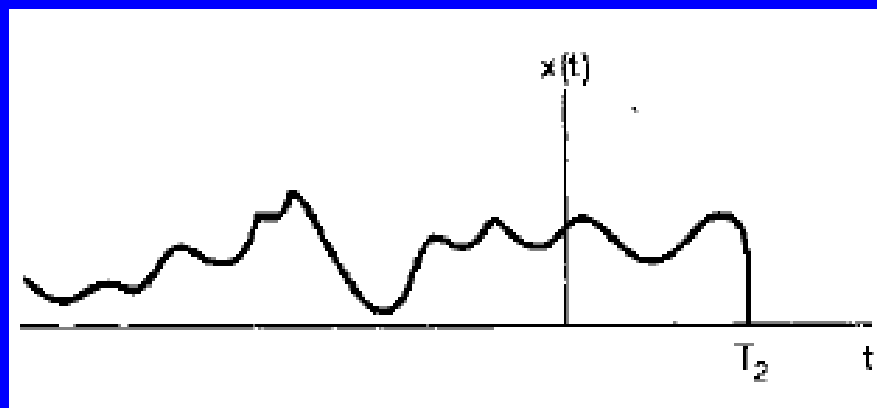
$$\begin{aligned} \int_{T_1}^{\infty} |x(t)| e^{-\sigma_1 t} dt &= \int_{T_1}^{\infty} |x(t)| e^{-\sigma_1 t} e^{-(\sigma_1 - \sigma_0)t} dt \\ &\leq e^{-(\sigma_1 - \sigma_0)T_1} \int_{T_1}^{\infty} |x(t)| e^{-\sigma_0 t} dt \end{aligned}$$

$x(t)e^{-\sigma_1 t}$ 绝对可积



性质5: 如果 $x(t)$ 是左边信号, 而且如果 $\text{Re}\{s\} = \sigma_0$ 这条线位于ROC内, 那么 $\text{Re}\{s\} < \sigma_0$ 的全部 s 值都一定在ROC内。

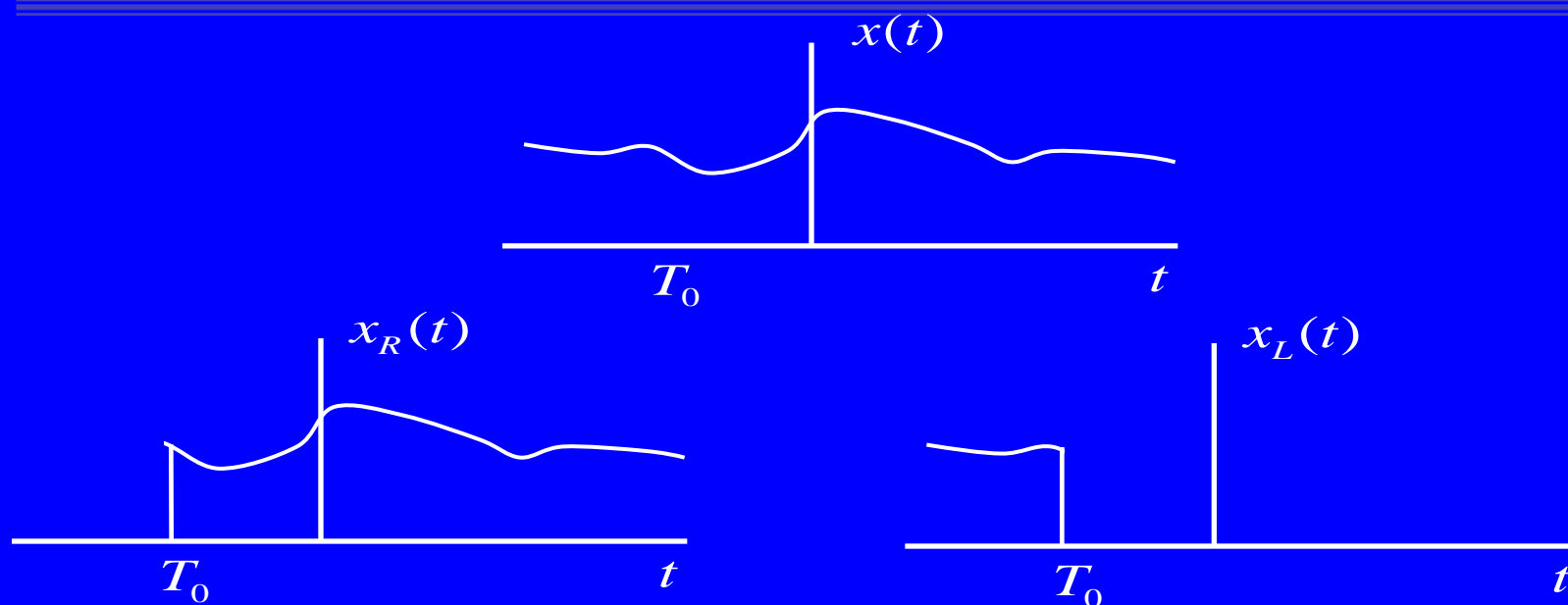
左边信号
 $x(t)$



ROC: 左半平面

性质6: 如果 $x(t)$ 是双边信号, 而且如果 $\text{Re}\{s\} = \sigma_0$ 这条线位于ROC内, 那么ROC 就一定是由 s 平面的一条带状区域所组成, 直线 $\text{Re}\{s\} = \sigma_0$ 位于带中。





$L\{x_R(t)\}$ 的ROC

$$\text{Re}\{s\} > \sigma_R$$

$L\{x_L(t)\}$ 的ROC

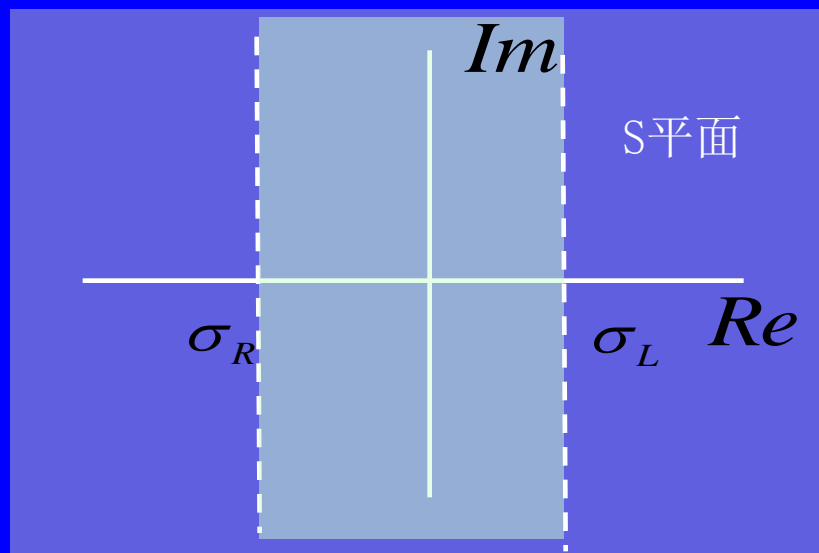
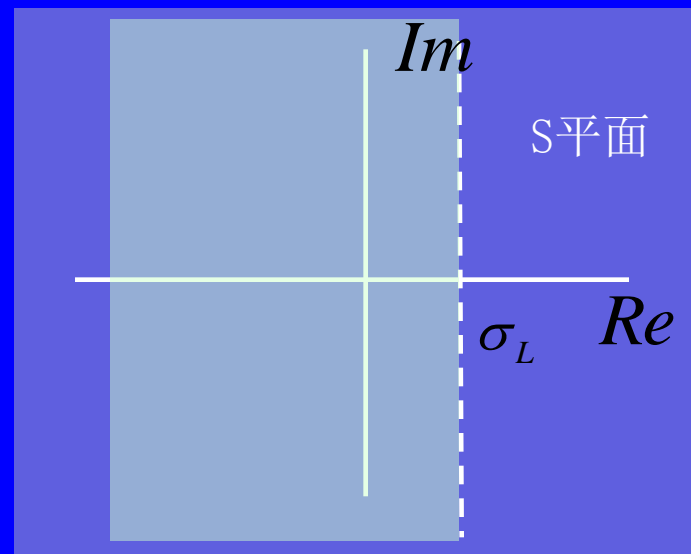
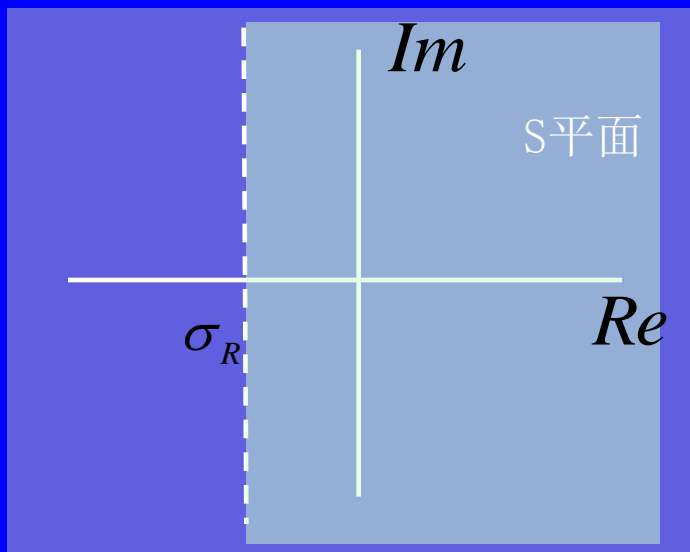
$$\text{Re}\{s\} > \sigma_L$$

$L\{x(t)\}$ 的ROC



两个半平面的重合,
($\sigma_R < \sigma_L$)





例6.7 $x(t) = e^{-b|t|}$

$$x(t) = e^{-bt}u(t) + e^{bt}u(-t)$$

$$e^{-bt}u(t) \leftrightarrow \frac{1}{s+b}, \quad \text{Re}\{s\} > -b$$

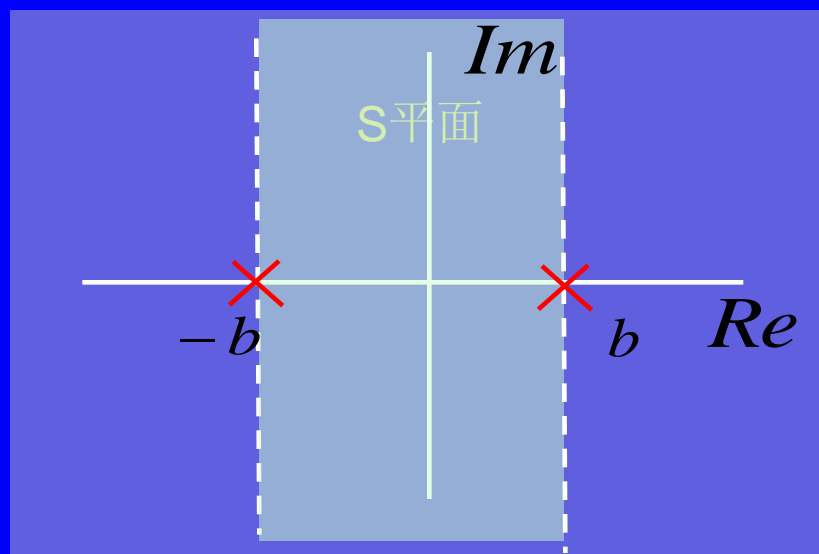
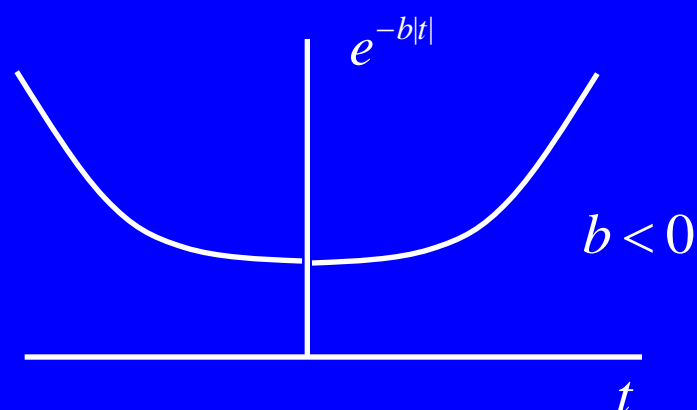
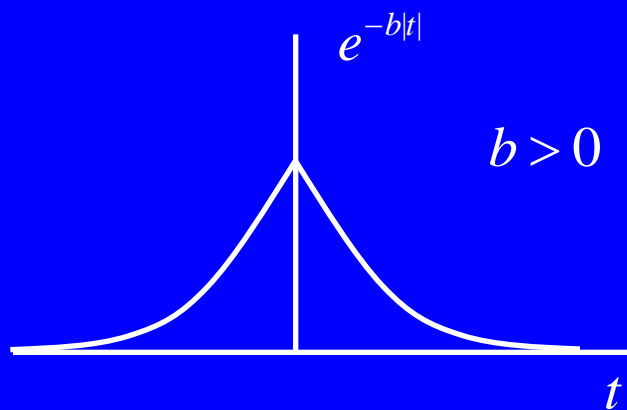
$$e^{bt}u(-t) \leftrightarrow \frac{-1}{s-b}, \quad \text{Re}\{s\} < b$$

$b \leq 0$: 无公共收敛域

$b > 0$:

$$e^{-b|t|} \xleftrightarrow{L} \frac{1}{s+b} - \frac{1}{s-b} = \frac{-2b}{s^2 - b^2}, \quad -b < \text{Re}\{s\} < +b$$





性质7: 如果 $x(t)$ 的拉普拉斯变换 $X(s)$ 是有理的, 那么它的ROC是被极点所界定或延伸到无限远。另外, 在ROC内不包含 $X(s)$ 的任何极点。

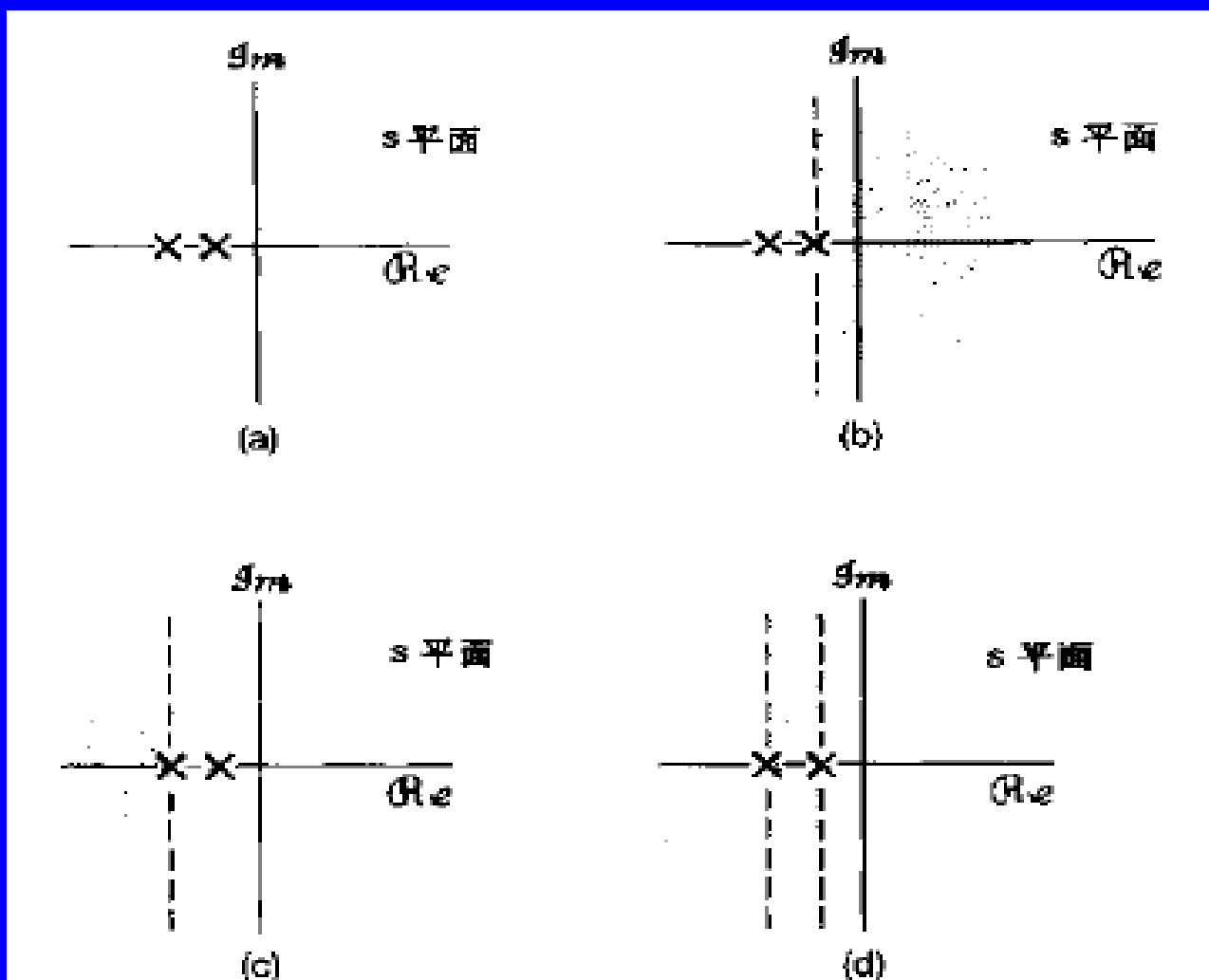
性质8: 如果 $x(t)$ 的拉普拉斯变换 $X(s)$ 是有理的, 若 $x(t)$ 是右边信号, 则其ROC在 s 平面上位于最右边极点的右边; 若 $x(t)$ 是左边信号, 则其ROC在 s 平面上位于最左边极点的左边。



例6.8

$$X(s) = \frac{1}{(s+1)(s+2)}$$

零极点图



左边信号

右边信号

双边信号



6.2 常用拉普拉斯变换对

$$\delta(t) \xleftrightarrow{L} 1, \text{ROC}$$

$$u(t) \xleftrightarrow{L} 1/s, \text{Re}\{s\} > 0$$

$$-u(-t) \xleftrightarrow{L} 1/s, \text{Re}\{s\} < 0$$

$$\frac{t^{n-1}}{(n-1)!} u(t) \xleftrightarrow{L} \frac{1}{s^n}, \text{Re}\{s\} > 0$$

$$-\frac{t^{n-1}}{(n-1)!} u(-t) \xleftrightarrow{L} \frac{1}{s^n}, \text{Re}\{s\} < 0$$



$$e^{-at}u(t) \xleftrightarrow{L} \frac{1}{s+a}, \operatorname{Re}\{s\} > -a$$

$$-e^{-at}u(-t) \xleftrightarrow{L} \frac{1}{s+a}, \operatorname{Re}\{s\} < -a$$

$$\frac{t^{n-1}}{(n-1)!} e^{-at}u(t) \xleftrightarrow{L} \frac{1}{(s+a)^n}, \operatorname{Re}\{s\} > -a$$

$$-\frac{t^{n-1}}{(n-1)!} e^{-at}u(-t) \xleftrightarrow{L} \frac{1}{(s+a)^n}, \operatorname{Re}\{s\} < -a$$

$$\delta(t-T) \xleftrightarrow{L} e^{-sT}, \operatorname{ROC}$$

$$\frac{d^n \delta(t)}{dt^n} \xleftrightarrow{L} s^n, \operatorname{ROC}$$



§ 6.3 拉普拉斯变换的性质

(1) 线性

$$x_1(t) \xleftrightarrow{L} X_1(s), ROC = R_1$$

$$x_2(t) \xleftrightarrow{L} X_2(s), ROC = R_2$$

那么

$$ax_1(t) + bx_2(t) \xleftrightarrow{L} aX_1(s) + bX_2(s), ROC = R_1 \cap R_2$$

$X(s)$ 的收敛域是 R_1 和 R_2 的相交，可以是空，表示没有收敛域，即不存在拉普拉斯变换。

当发生零、极点相消时，ROC 可能扩大。



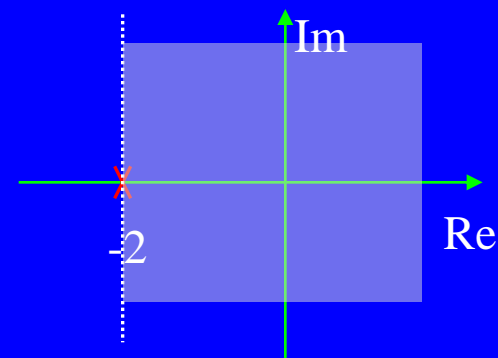
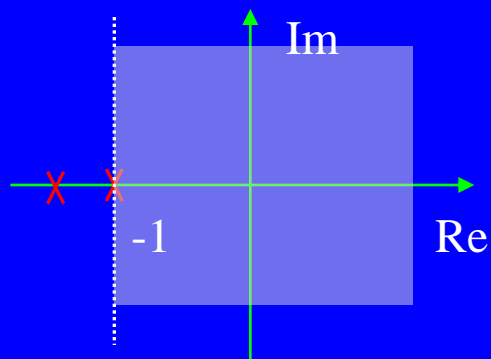
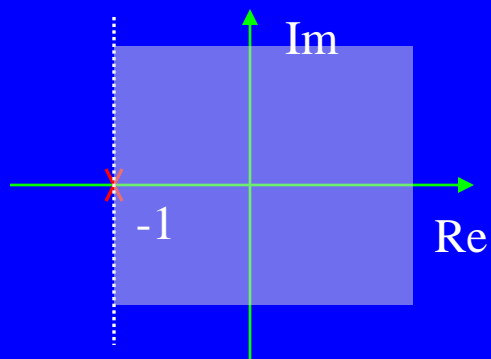
例6.9

$$x(t) = x_1(t) - x_2(t)$$

$$X_1(s) = \frac{1}{s+1}, \operatorname{Re}\{s\} > -1$$

$$X_2(s) = \frac{1}{(s+1)(s+2)}, \operatorname{Re}\{s\} > -1$$

$$X(s) = \frac{1}{s+1} - \frac{1}{(s+1)(s+2)} = \frac{1}{s+2}$$



(2) 时移

$$x(t) \xleftrightarrow{L} X(s), ROC = R$$

$$x(t - t_0) \xleftrightarrow{L} e^{-st_0} X(s), ROC = R$$

(3) S域平移

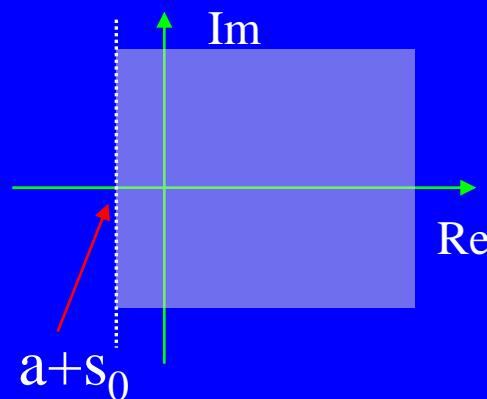
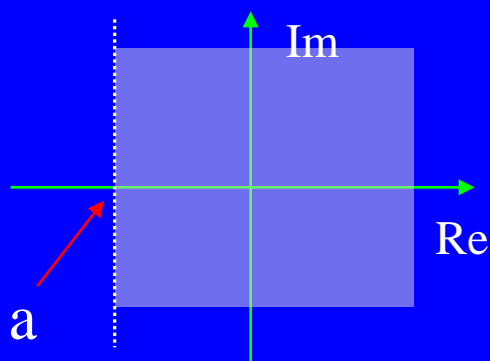
$$x(t) \xleftrightarrow{L} X(s), ROC = R$$

$$e^{s_0 t} x(t) \xleftrightarrow{L} X(s - s_0), ROC = R + \text{Re}\{s_0\}$$



$X(s-s_0)$ 的ROC是 $X(s)$ 的ROC的平移。

$s=a$ 的零、极点, $s-s_0=a$, $s=a+s_0$



s_0 实部 对应左右平移

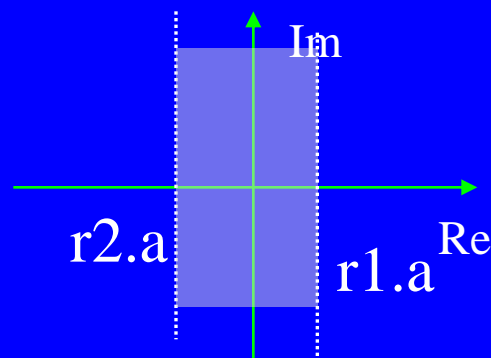
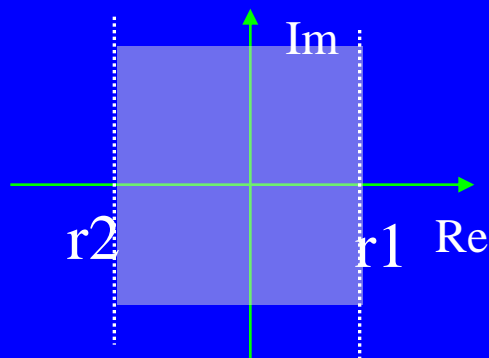
虚部, 对应上下平移



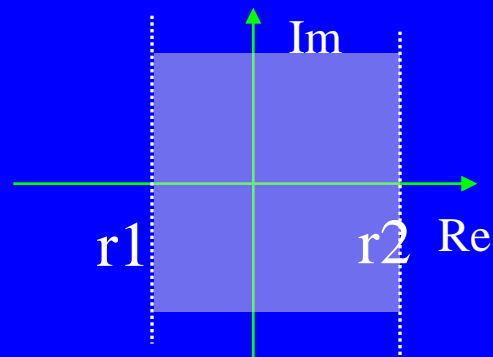
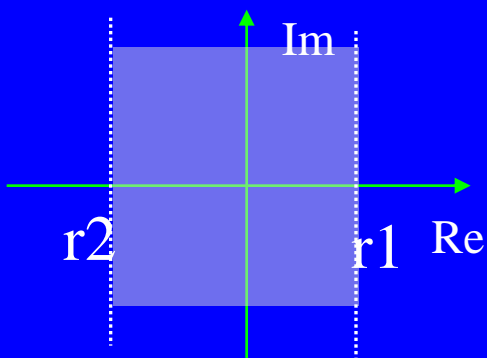
(4) 时域尺度变换

$$x(t) \xleftrightarrow{L} X(s), ROC = R$$

$$x(at) \xleftrightarrow{L} \frac{1}{|a|} X\left(\frac{s}{a}\right), ROC_1 = aR$$



$$x(-t) \xleftrightarrow{L} X(-s), ROC = -R$$



(5) 共轭

$$x(t) \xleftrightarrow{L} X(s), ROC = R$$

则

$$x^*(t) \xleftrightarrow{L} X^*(s^*), ROC = R$$

$$X(s) = X^*(s^*) \quad x(t) \text{ 为实函数}$$

零、极点也是共轭的



(6) 卷积

$$x_1(t) \xleftrightarrow{L} X_1(s), ROC = R_1$$

$$x_2(t) \xleftrightarrow{L} X_2(s), ROC = R_2$$

则

$$x_1(t) * x_2(t) \xleftrightarrow{L} X_1(s)X_2(s), ROC = R_1 \cap R_2$$

如发生零、极点相消，则收敛域可能增大



(7) 时域微分

$$x(t) \xleftrightarrow{L} X(s), \text{ROC} = R$$

则

$$\frac{dx(t)}{dt} \xleftrightarrow{L} sX(s), \text{ROC} \subset R$$

$$x(t) = \frac{1}{2\pi j} \int_{\sigma-j\infty}^{\sigma+j\infty} X(s)e^{st} ds \quad \frac{dx(t)}{dt} = \frac{1}{2\pi j} \int_{\sigma-j\infty}^{\sigma+j\infty} sX(s)e^{st} ds$$

$sX(s)$ 的ROC包括 $X(s)$ 的ROC。如 $X(s)$ 中有 $s=0$ 的极点, 则相消后, 其ROC大于原ROC

$$u(t) \xleftrightarrow{L} 1/s, \text{ROC} > 0 \quad \delta(t) \xleftrightarrow{L} 1, \text{ROC} = R$$



(8) s 域微分

$$x(t) \xleftrightarrow{L} X(s), \text{ROC} = R$$

则

$$-tx(t) \xleftrightarrow{L} \frac{dX(s)}{ds}, \text{ROC} = R$$

$$X(s) = \int_{-\infty}^{\infty} x(t)e^{-st} dt$$

$$\frac{dX(s)}{ds} = \int_{-\infty}^{\infty} (-t)x(t)e^{-st} dt$$



例6.10

$$x(t) = te^{-at}u(t)$$

$$e^{-at}u(t) \xleftrightarrow{L} \frac{1}{s+a}, \operatorname{Re}\{s\} > -a$$

$$te^{-at}u(t) \xleftrightarrow{L} -\frac{d}{ds} \left[\frac{1}{s+a} \right] = \frac{1}{(s+a)^2}, \operatorname{Re}\{s\} > -a$$

$$\frac{t^2}{2} e^{-at}u(t) \xleftrightarrow{L} \frac{1}{(s+a)^3}, \operatorname{Re}\{s\} > -a$$

$$\frac{t^{n-1}}{(n-1)!} e^{-at}u(t) \xleftrightarrow{L} \frac{1}{(s+a)^n}, \operatorname{Re}\{s\} > -a$$



例6.11 $X(s) = \frac{2s^2 + 5s + 5}{(s+1)^2(s+2)}, \text{Re}\{s\} > -1$

$$X(s) = \frac{2}{(s+1)^2} - \frac{1}{s+1} + \frac{3}{s+2}, \text{Re}\{s\} > -1$$

$$x(t) = [2te^{-t} - e^{-t} + 3e^{-2t}]u(t)$$



(9) 时域积分

$$x(t) \xleftrightarrow{L} X(s), \text{ROC} = R$$

则

$$\int_{-\infty}^t x(\tau) d\tau \xleftrightarrow{L} \frac{X(s)}{s}, \text{ROC} = R \cap \text{Re}\{s\} > 0$$

$$\int_{-\infty}^t x(\tau) d\tau = u(t) * x(t)$$

$$u(t) \xleftrightarrow{L} 1/s, \text{Re}\{s\} > 0$$

$$x(t) * u(t) \xleftrightarrow{L} \frac{X(s)}{s}$$



(10) 初值与终值定理

若 $t < 0$, $x(t) = 0$, 且在 $t = 0$ 时, $x(t)$ 不含冲激或者高阶奇异函数, 则:

初值定理
$$x(0^+) = \lim_{s \rightarrow \infty} sX(s)$$

终值定理
$$\lim_{t \rightarrow \infty} x(t) = \lim_{s \rightarrow 0} sX(s)$$

$$x(0^+) = \lim_{s \rightarrow \infty} sX(s) = \lim_{s \rightarrow \infty} \frac{2s^3 + 5s^2 + 12}{s^3 + 4s^2 + 14s + 20} = 2$$



表 9.1 拉普拉斯变换性质

节次	性质	信号	拉普拉斯变换	ROC
		$x(t)$	$X(s)$	R
		$x_1(t)$	$X_1(s)$	R_1
		$x_2(t)$	$X_2(s)$	R_2
9.5.1	线性	$ax_1(t) + bx_2(t)$	$aX_1(s) + bX_2(s)$	至少 $R_1 \cap R_2$
9.5.2	时移	$x(t - t_0)$	$e^{-st_0}X(s)$	R
9.5.3	s 域平移	$e^{st_0}x(t)$	$X(s - s_0)$	R 的平移 [即若 $(s - s_0)$ 在 R 中, 则 s 就位于 ROC 中]
9.5.4	时域尺度变换	$x(at)$	$\frac{1}{ a }X\left(\frac{s}{a}\right)$	R/a (即若 s/a 在 R 中, 则 s 就位于 ROC 中)
9.5.5	共轭	$x^*(t)$	$X^*(s^*)$	R
9.5.6	卷积	$x_1(t) * x_2(t)$	$X_1(s)X_2(s)$	至少 $R_1 \cap R_2$
9.5.7	时域微分	$\frac{d}{dt}x(t)$	$sX(s)$	至少 R
9.5.8	s 域微分	$-tx(t)$	$\frac{d}{ds}X(s)$	R
9.5.9	时域积分	$\int_{-\infty}^t x(\tau)d(\tau)$	$\frac{1}{s}X(s)$	至少 $R \cap \{s \operatorname{Re}\{s\} > 0\}$
9.5.10	<p>初值和终值定理</p> <p>若 $t < 0, x(t) = 0$ 且在 $t = 0$ 不包括任何冲激或高阶奇异函数, 则</p> $x(0^+) = \lim_{s \rightarrow \infty} sX(s)$ $\lim_{t \rightarrow \infty} x(t) = \lim_{s \rightarrow 0} sX(s)$			



6.4 单边周期信号与抽样信号的拉氏变换

单边周期信号: $x(t) = x(t-nT) \quad t > 0$

$x_1(t)$: $x(t)$ 的第一周期

$$x_1(t) \xleftrightarrow{L} X_1(s)$$

第一周期的拉氏变换



$$x_1(t) \xleftrightarrow{L} X_1(s)$$

第一周期的拉氏变换



$$x_1(t - nT) \xleftrightarrow{L} e^{-snT} X_1(s)$$

时移特性

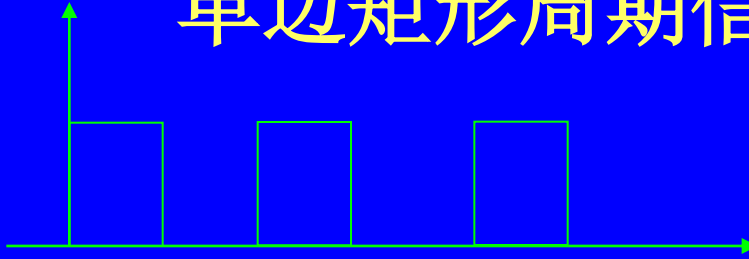


$$\sum_{n=0}^{\infty} x_1(t - nT) \xleftrightarrow{L} X_1(s) \sum_{n=0}^{\infty} e^{-snT} = \frac{X_1(s)}{1 - e^{-sT}} = X_1(s) \frac{e^{sT}}{e^{sT} - 1}$$

利用无穷级数求和



单边矩形周期信号拉氏变换



$$x_1(t) = u(t) - u(t - \tau)$$

第一周期的信号

$$X_1(s) = \frac{1}{s} (1 - e^{-s\tau})$$

第一周期的拉氏变换

$$X(s) = \frac{X_1(s)}{1 - e^{-sT}} = \frac{1 - e^{-s\tau}}{s(1 - e^{-sT})}$$

利用时移特性
利用无穷技术求和

抽样信号的拉氏变换

$$\delta_T(t) \bullet u(t) = \sum_{n=0}^{\infty} \delta(t - nT)$$

$$L\{\delta_T(t) \bullet u(t)\} = \sum_{n=0}^{\infty} e^{-snT} = \frac{1}{1 - e^{-sT}}, \quad \text{Re}\{s\} > 0$$

$$x_s(t) = x(t) \bullet \delta_T(t) \bullet u(t) = \sum_{n=0}^{\infty} x(nT) \delta(t - nT)$$

$$L\{x_s(t)\} = \int_0^{\infty} \sum_{n=0}^{\infty} x(nT) \delta(t - nT) e^{-st} dt$$

$$= \sum_{n=0}^{\infty} x(nT) \int_0^{\infty} \delta(t - nT) e^{-st} dt = \sum_{n=0}^{\infty} x(nT) (e^{-sT})^n$$



抽样信号的拉氏变换

$$L\{x_s(t)\} = \sum_{n=0}^{\infty} x(nT) \int_0^{\infty} \delta(t - nT) e^{-st} dt = \sum_{n=0}^{\infty} x(nT) (e^{-sT})^n$$

$$e^{sT} = z$$

$$L\{x_s(t)\} = \sum_{n=0}^{\infty} x(nT) z^{-n}$$



6.5 拉普拉斯反变换

$$x(t) = \frac{1}{2\pi j} \int_{\sigma-j\infty}^{\sigma+j\infty} X(s) e^{st} ds$$

积分路径：满足 $\text{Re}\{s\} = \sigma$ 的全部 s 点的直线（平行于 $j\omega$ 轴）

反变换的积分求值, 要利用复平面的围线积分



部分分式展开法: (有理函数)

$$X(s) = \frac{N(s)}{D(s)} = \frac{b_0 + b_1s + \dots b_ms^m}{a_0 + a_1s + \dots a_ns^n}$$

采用部分分式展开法: 将有理拉氏变换式展开成低阶的线性组合, 其中每一个低阶项的反变换, 由拉氏变换性质或者查表得到

注意收敛区域: 左边信号、右边信号, 双边信号



(1) $X(s)$ 分母多项式有 n 个互异实根

$$X(s) = \frac{N(s)}{D(s)} = \frac{b_0 + b_1s + \dots b_ms^m}{a_n(s - p_1)(s - p_2)\dots(s - p_n)}$$

$$\begin{aligned} X(s) &= \frac{N(s)}{D(s)} = \frac{k_1}{(s - p_1)} + \frac{k_2}{(s - p_2)} + \dots + \frac{k_n}{(s - p_n)} \\ &= \sum_{i=1}^{\infty} \frac{k_i}{(s - p_i)} \end{aligned}$$

$$k_i = X(s)(s - p_i) \Big|_{s=p_i}$$



例6.12 $X(s) = \frac{1}{(s+1)(s+2)} \quad \text{Re}\{s\} > -1$

部分分式展开 $X(s) = \frac{A}{s+1} + \frac{B}{s+2}$

$$A = [(s+1)X(s)] \Big|_{s=-1} = 1 \quad B = [(s+2)X(s)] \Big|_{s=-2} = -1$$

$$X(s) = \frac{1}{s+1} - \frac{1}{s+2}$$

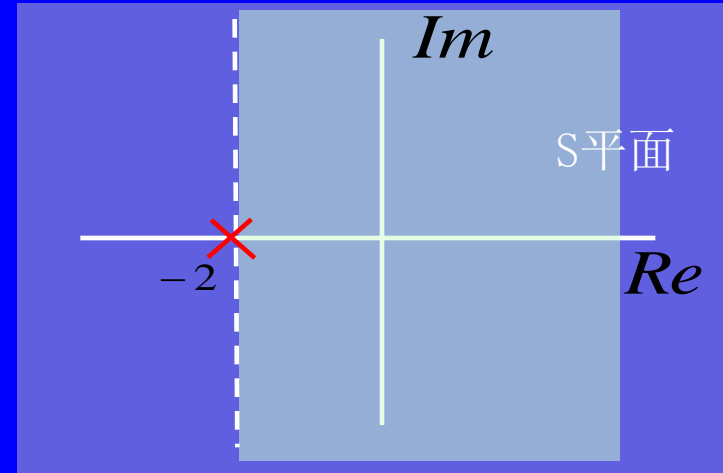
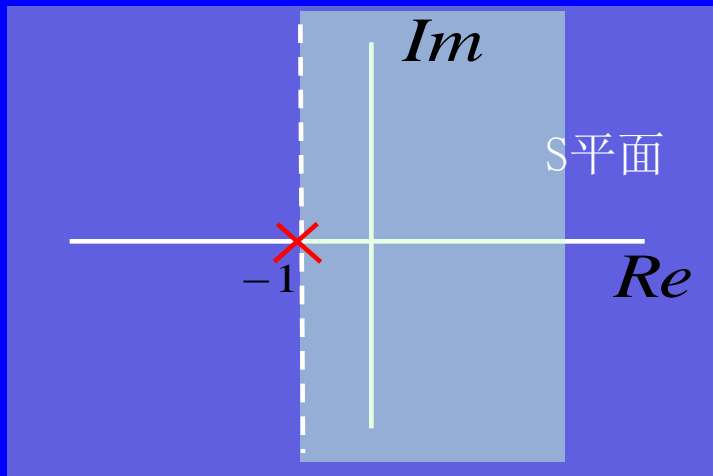
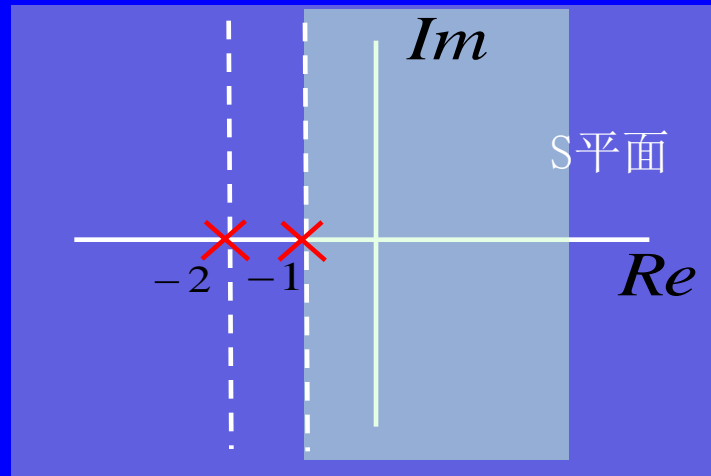
$$e^{-t}u(t) \leftrightarrow \frac{1}{s+1}, \quad \text{Re}\{s\} > -1$$

$$e^{-2t}u(t) \leftrightarrow \frac{1}{s+2}, \quad \text{Re}\{s\} > -2$$

$$e^{-2t}u(t) - e^{-t}u(t) \leftrightarrow \frac{1}{s^2 + 3s + 2}, \quad \text{Re}\{s\} > -1$$



**$X(s)$ 的零极图
和ROC**



第一项的零极图和ROC

第二项的零极图和ROC

分子阶次高于分母时

例

$$X(s) = \frac{s^3 + 5s^2 + 9s + 7}{(s+1)(s+2)}, \quad \text{Re}\{s\} > -1$$

长除法

$$X(s) = s + 2 + \frac{s+3}{(s+1)(s+2)}$$

$$X(s) = s + 2 + \frac{2}{(s+1)} - \frac{1}{(s+2)}$$

$$x(t) = \delta'(t) + 2\delta(t) + (2e^{-t} - e^{-2t})u(t)$$



(2) $X(s)$ 分母多项式包含重根

$$X(s) = \frac{N(s)}{D(s)} = \frac{N(s)}{(s-p_1)^k D_1(s)}$$

$$X(s) = \frac{k_{11}}{(s-p_1)^k} + \frac{k_{12}}{(s-p_1)^{k-1}} + \dots + \frac{k_{1k}}{(s-p_1)} + \frac{B(s)}{D(s)}$$

$$k_{11} = X(s)(s-p_1)^k \Big|_{s=p_1}$$

$$k_{12} = \frac{d[X(s)(s-p_1)^k]}{ds} \Big|_{s=p_1}$$

$$k_{1i} = \frac{1}{(i-1)!} \frac{d^{(i-1)}[X(s)(s-p_1)^k]}{ds^{i-1}} \Big|_{s=p_1}$$



例6.13 $X(s) = \frac{s-2}{s(s+1)^3}, \operatorname{Re}\{s\} > 0$

$$X(s) = \frac{k_{11}}{(s+1)^3} + \frac{k_{12}}{(s+1)^2} + \frac{k_{13}}{(s+1)} + \frac{k_2}{s}$$

$$k_2 = sX(s)\big|_{s=0} = -2$$

令 $X_1(s) = (s+1)^3 X(s) = \frac{s-2}{s}$

$$k_{11} = \frac{s-2}{s}\bigg|_{s=-1} = 3$$



$$k_{12} = \frac{d}{ds} \frac{s-2}{s} \Big|_{s=-1} = 2$$

$$k_{13} = \frac{1}{2} \frac{d^2}{ds^2} \frac{s-2}{s} \Big|_{s=-1} = 2 \quad k_{1i} = \frac{1}{(i-1)!} \frac{d^{(i-1)} [X(s)(s-p_1)^k]}{ds^{i-1}} \Big|_{s=p_1}$$

$$X(s) = \frac{3}{(s+1)^3} + \frac{2}{(s+1)^2} + \frac{2}{(s+1)} + \frac{-2}{s}$$

$$x(t) = (3/2 t^2 e^{-t} + 2t e^{-t} + 2e^{-t} - 2)u(t)$$

$$\frac{t^{n-1}}{(n-1)!} e^{-at} u(t) \xleftrightarrow{L} \frac{1}{(s+a)^n}, \operatorname{Re}\{s\} > -a$$



例6.15

$$X(s) = \frac{1}{(s+1)(s+2)}$$

$$\text{Re}\{s\} < -2$$

$$X(s) = \frac{1}{(s+1)} - \frac{1}{(s+2)}$$

$$-e^{-t}u(-t) \xleftrightarrow{L} \frac{1}{s+1}, \text{Re}\{s\} < -1$$

$$-e^{-2t}u(-t) \xleftrightarrow{L} \frac{1}{s+2}, \text{Re}\{s\} < -2$$

$$x(t) = [-e^{-t} + e^{-2t}]u(-t) \xleftrightarrow{L} \frac{1}{(s+1)(s+2)}, \text{Re}\{s\} < -2$$



例6.16 $X(s) = \frac{1}{(s+1)(s+2)} \quad -2 < \text{Re}\{s\} < -1$

$$X(s) = \frac{1}{(s+1)} - \frac{1}{(s+2)}$$

$$\frac{1}{(s+1)} \xleftrightarrow{L} -e^{-t}u(-t), \quad \text{Re}\{s\} < -1 \quad \text{左边信号}$$

$$\frac{1}{(s+2)} \xleftrightarrow{L} e^{-2t}u(t), \quad \text{Re}\{s\} > -2 \quad \text{右边信号}$$

$$x(t) = -e^{-t}u(t) - e^{-2t}u(t) \xleftrightarrow{L} \frac{1}{(s+1)(s+2)}, \quad -1 < \text{Re}\{s\} < -2$$



§ 6.6 单边拉普拉斯变换

$$L(s) \triangleq \int_{0-}^{+\infty} x(t) e^{-st} dt$$

例6.17: $x(t) = e^{-a(t+1)} u(t+1)$

$$\begin{aligned} L(s) &= \int_{0-}^{\infty} e^{-a(t+1)} u(t+1) e^{-st} dt \\ &= e^{-a} \int_{0-}^{\infty} e^{-(s+a)t} dt = e^{-a} \frac{1}{s+a} \end{aligned}$$

当 $x < 0$, $x(t)$ 不全为零,
单边和双边拉普拉斯
是不一样的。

$$X(s) = \frac{e^s}{s+a}, \operatorname{Re}\{s\} > -a$$

双边



单边拉普拉斯变换的性质

大部分与双边变换相同。主要不同：时域微分、积分性质

时域微分性质

$$\frac{dx(t)}{dt} \xleftrightarrow{L} sX(s) - x(0^-)$$

$$\frac{d^2x(t)}{dt^2} \xleftrightarrow{L} s^2X(s) - sx(0^-) - x'(0^-)$$

$$\int_{-\infty}^t x(\tau) d\tau \xleftrightarrow{L} \frac{X(s)}{s} + \frac{\int_{-\infty}^0 x(\tau) d\tau}{s}$$

利用单边拉普拉斯变换性质：求解具有非零初始条件的微分方程---全响应。



时域积分性质

$$uL\{x(t)\} = \tilde{X}(s)$$

$$uL\left\{\int_{-\infty}^t x(\tau)d\tau\right\} = \frac{\tilde{X}(s)}{s} + \frac{\int_{-\infty}^0 x(\tau)d\tau}{s}$$



卷积定理

如果 $x_1(t)$ 和 $x_2(t)$ 都是单边信号,

$$x_1(t) * x_2(t) = \tilde{X}_1(s) \tilde{X}_2(s)$$



6.7 用拉普拉斯变换分析LTI系统

拉普拉斯变换法是连续时间系统分析的又一个重要工具，与傅氏分析法相比较，可涉及的信号和系统更广泛，尤其在分析非零起始状态的系统时，可自动计入非零起始状态，从而一次可解得零输入响应，零状态响应和全响应。由于拉氏变换建立了时间变量 $x(t)$ 与复频域（**S**域）变量 $s=\sigma +j\omega$ 之间的对应关系，故把用拉氏变换法对系统的分析也称为系统的复频域（**S**域）分析。



6.7.1 系统函数

LTI系统中，若输入 $x(t)=e^{st}$ ，那么，其输出就是 $H(s)e^{st}$ ；即， e^{st} 是系统的特征函数，其特征值就是单位冲激函数的拉普拉斯变换. $H(s)=L\{h(t)\}$

$$Y(s) = H(s)X(s)$$

当 $s=j\omega$ 时，拉普拉斯变成傅立叶变换， $H(s)$ 为LTI系统的频率响应函数。

一般的， $H(s)$ 称为**系统函数**或**转移函数**



线性常系数微分方程

例

$$\frac{dy(t)}{dt} + 3y(t) = x(t)$$

$$sY(s) + 3Y(s) = X(s)$$

$$H(s) = \frac{Y(s)}{X(s)} = \frac{1}{s+3}$$


$$h(t) = e^{-3t}u(t) \quad \text{或} \quad h(t) = -e^{-3t}u(-t)$$

因果

非因果



$$\sum_{k=0}^N a_k \frac{d^k y(t)}{dt^k} = \sum_{k=0}^M b_k \frac{d^k x(t)}{dt^k}$$

$$\left(\sum_{k=0}^N a_k s^k\right)Y(s) = \left(\sum_{k=0}^M b_k s^k\right)X(s)$$

$$H(s) = \frac{\sum_{k=0}^M b_k s^k}{\sum_{k=0}^N a_k s^k}$$

没有收敛域的说明, 因为微分方程本身没有限制收敛域

需要结合稳定性和因果性等附加说明

零点

极点

$$\sum_{k=0}^M b_k s^k = 0$$

$$\sum_{k=0}^N a_k s^k = 0$$



1. 因果性

一个因果系统的系统函数的ROC是某个右半平面

反之，则不一定。

对于一个具有有理系统函数的系统来说，系统的因果性就等效于ROC位于最右边极点的右半平面



例 6.17 $h(t) = e^{-t}u(t)$ 因果

$$H(s) = \frac{1}{s+1}, \operatorname{Re}\{s\} > -1$$

例 6.18 $H(s) = \frac{e^s}{s+1}, \operatorname{Re}\{s\} > -1$

$$e^{-t}u(t) \xleftrightarrow{L} \frac{1}{s+1} \quad e^{-(t+1)}u(t+1) \xleftrightarrow{L} \frac{e^s}{s+1}$$

$$h(t) = e^{-(t+1)}u(t+1)$$

非因果



2 稳定性

当且仅当系统函数 $H(s)$ 的ROC包括 $j\omega$ 轴时,
一个LTI系统是稳定的

当: $\int_{-\infty}^{\infty} |h(t)| dt < \infty$

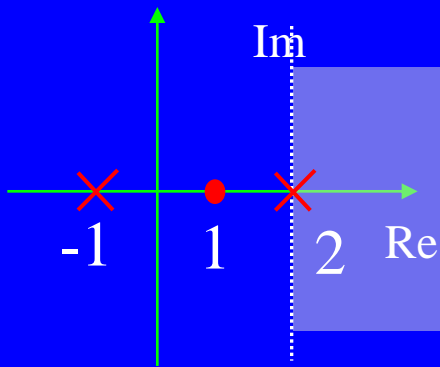
$$H(j\omega) = \int_{-\infty}^{\infty} h(t) e^{-j\omega t} dt \quad \text{存在}$$

$$H(s)|_{\sigma=0} = \int_{-\infty}^{\infty} h(t) e^{-j\omega t} dt = H(j\omega)$$

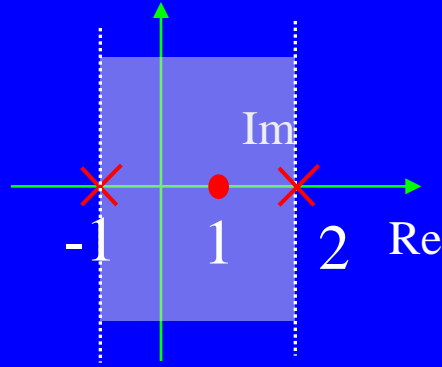


例

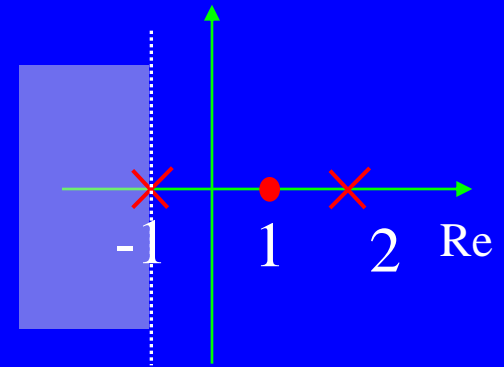
$$H(s) = \frac{s-1}{(s+1)(s-2)}$$



因果不稳定



非因果稳定



非因果不稳定

$$h(t) = \left(\frac{2}{3}e^{-t} + \frac{1}{3}e^{2t}\right)u(t) \quad h(t) = \frac{2}{3}e^{-t}u(t) - \frac{1}{3}e^{2t}u(-t) \quad h(t) = -\left(\frac{2}{3}e^{-t} + \frac{1}{3}e^{2t}\right)u(-t)$$



3. 因果稳定性

当且仅当 $H(s)$ 的全部极点都位于 s 平面的左半平面时，一个具有有理系统函数 $H(s)$ 的因果系统才是稳定的

例

$$e^{-t}u(t) \xleftrightarrow{L} \frac{1}{s+1}, \operatorname{Re}\{s\} > -1$$

$$e^{2t}u(t) \xleftrightarrow{L} \frac{1}{s-2}, \operatorname{Re}\{s\} > 2$$



系统特性与系统函数

若LTI系统的输入 $x(t) = e^{-3t}u(t)$

输出 $y(t) = [e^{-t} - e^{-2t}]u(t)$

$$X(s) = \frac{1}{s+3}, \operatorname{Re}\{s\} > -3 \quad Y(s) = \frac{1}{(s+1)(s+2)}, \operatorname{Re}\{s\} > -1$$

系统函数 $H(s) = \frac{Y(s)}{X(s)} = \frac{s+3}{s^2+3s+2}$

极点-2, -1; 所以ROC 为 $\operatorname{Re}\{s\} > -1$;

又极点-2, $-1 < 0$, 所以系统是稳定的

$$\frac{dy^2(t)}{dt^2} + 3\frac{dy(t)}{dt} + 2y(t) = \frac{dx(t)}{dt} + 3x(t)$$



6.7.3 全响应的求解

利用单边拉普拉斯变换性质:求解具有非零初始条件的微分方程---全响应。

$$\frac{dx(t)}{dt} \xleftrightarrow{L} sX(s) - x(0^-)$$



例: $\frac{d^2 y(t)}{dt^2} + 3\frac{dy(t)}{dt} + 2y(t) = x(t) \quad y(0-) = \beta, y'(0-) = \gamma$

设: $x(t) = au(t)$

$$s^2 Y(s) - \beta s - \gamma + 3sY(s) - 3\beta + 2Y(s) = a/s$$

$$Y(s) = \frac{\beta(s+3)}{(s+1)(s+2)} + \frac{\gamma}{(s+1)(s+2)} + \frac{a}{s(s+1)(s+2)}$$

零输入响应

零状态响应
(初始松弛)



$$\begin{cases} \frac{d^2 y(t)}{dt^2} + 3\frac{dy(t)}{dt} + 2y(t) = au(t) \\ y(0-) = \beta, y'(0-) = \gamma \end{cases}$$

$$Y(s) = \frac{\beta(s+3)}{(s+1)(s+2)} + \frac{\gamma}{(s+1)(s+2)} + \frac{a}{s(s+1)(s+2)}$$

$$\begin{aligned} Y(s) &= \beta\left(\frac{2}{s+1} - \frac{1}{s+2}\right) + \gamma\left(\frac{1}{s+1} - \frac{1}{s+2}\right) + \frac{a}{2}\left(\frac{1}{s} - \frac{2}{s+1} + \frac{1}{s+2}\right) \\ &= \frac{a}{2s} + \frac{2\beta + \gamma - a}{s+1} + \frac{a + 2\beta + 2\gamma}{2(s+2)} \end{aligned}$$

$$y(t) = \left[\frac{\alpha}{2} + (2\beta + \gamma - \alpha)e^{-t} + \frac{(\alpha + 2\beta + 2\gamma)}{2}e^{-2t} \right] u(t)$$



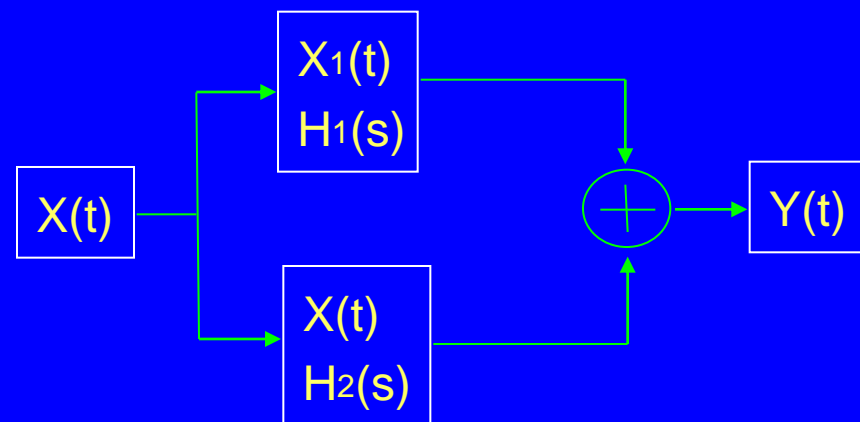
6.7.4 系统函数与方框图

LTI系统互连的系统函数

并连

$$h(t) = h_1(t) + h_2(t)$$

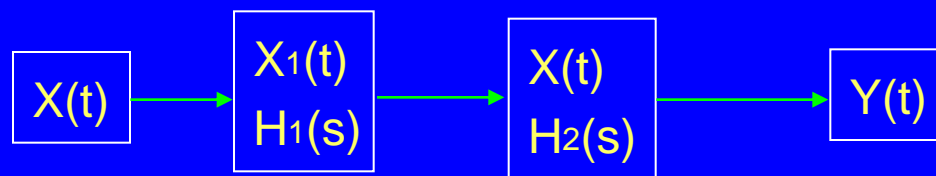
$$H(s) = H_1(s) + H_2(s)$$



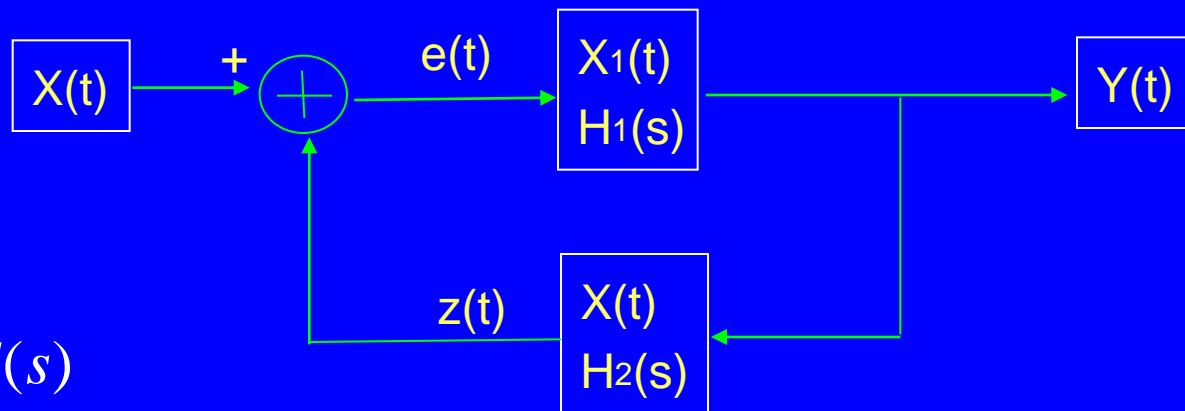
级连

$$h(t) = h_1(t) * h_2(t)$$

$$H(s) = H_1(s)H_2(s)$$



反馈



$$Y(s) = H_1(s)E(s)$$

$$E(s) = X(s) - Z(s)$$

$$Z(s) = H_2(s)Y(s)$$

$$Y(s) = H_1(s)[X(s) - H_2(s)Y(s)]$$

$$H(s) = \frac{Y(s)}{X(s)} = \frac{H_1(s)}{1 - H_1(s)H_2(s)}$$

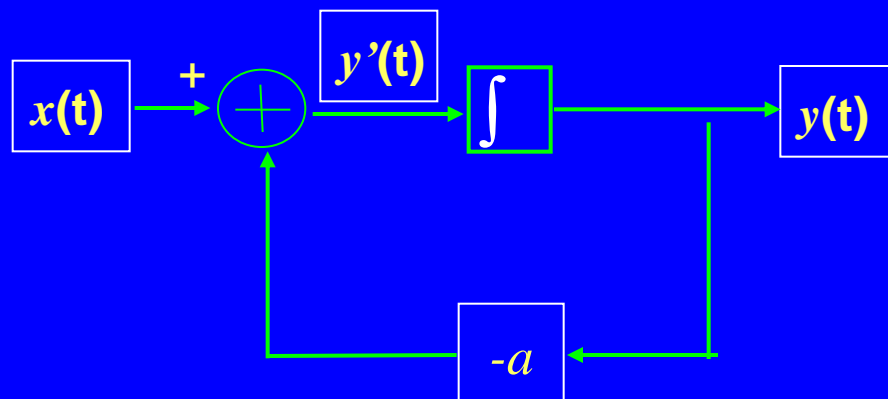


微分方程与方框图

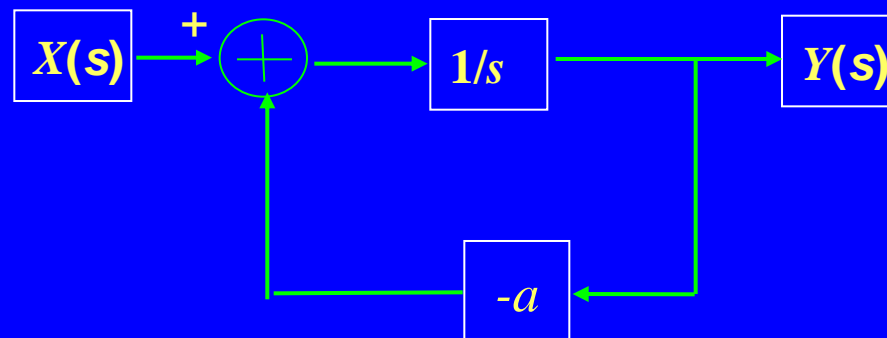
$$\frac{dy(t)}{dt} + ay(t) = x(t)$$

$$\frac{dy(t)}{dt} = x(t) - ay(t)$$

$$y(t) = \int [x(t) - ay(t)] dt$$



$$H(s) = \frac{\frac{1}{s}}{1 + \frac{1}{s}a} = \frac{1}{s+a}$$

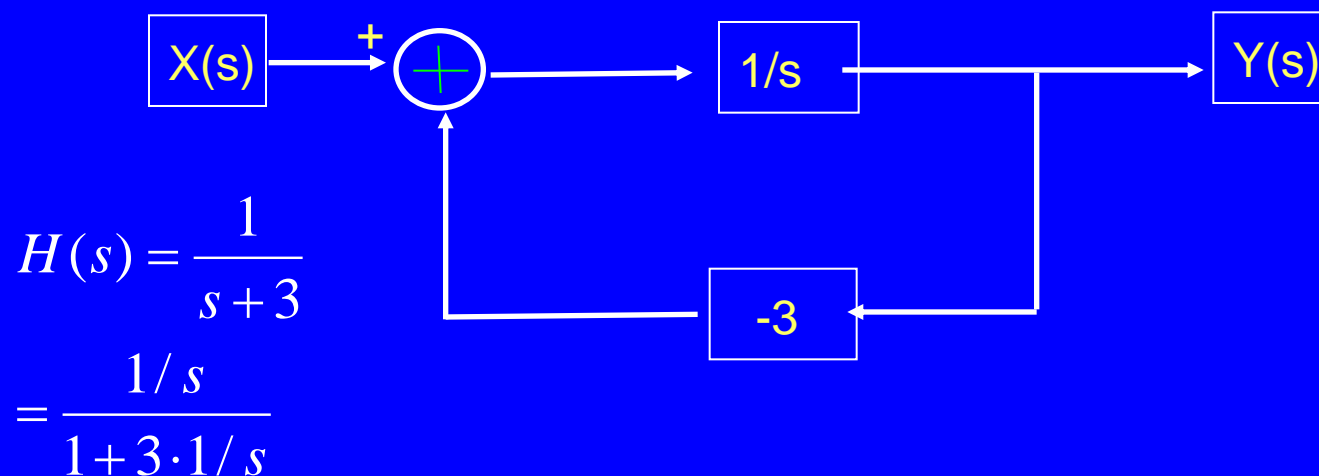


$$\frac{dy(t)}{dt} + ay(t) = x(t)$$



例3.23 已知系统函数 $H(s) = \frac{1}{s+3}$ ，写出微分方程，画出方框图。

$$\frac{dy(t)}{dt} + 3y(t) = x(t)$$



例6.24 画出下面系统的框图

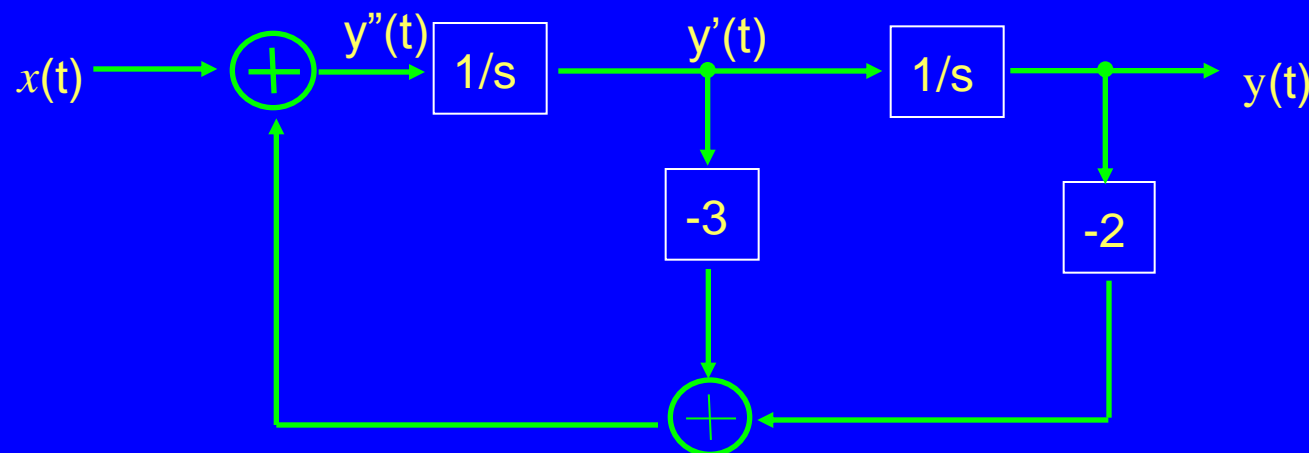
$$\frac{d^2 y(t)}{dt^2} + 3\frac{dy(t)}{dt} + 2y(t) = x(t)$$

$$H(s) = \frac{1}{s^2 + 3s + 2}$$

$$H(s) = \frac{1}{s+1} \frac{1}{s+2}$$

$$H(s) = \frac{1}{s+1} - \frac{1}{s+2}$$





$$H(s) = \frac{1}{s^2 + 3s + 2}$$

$$= \frac{1}{s(s+3) + 2}$$

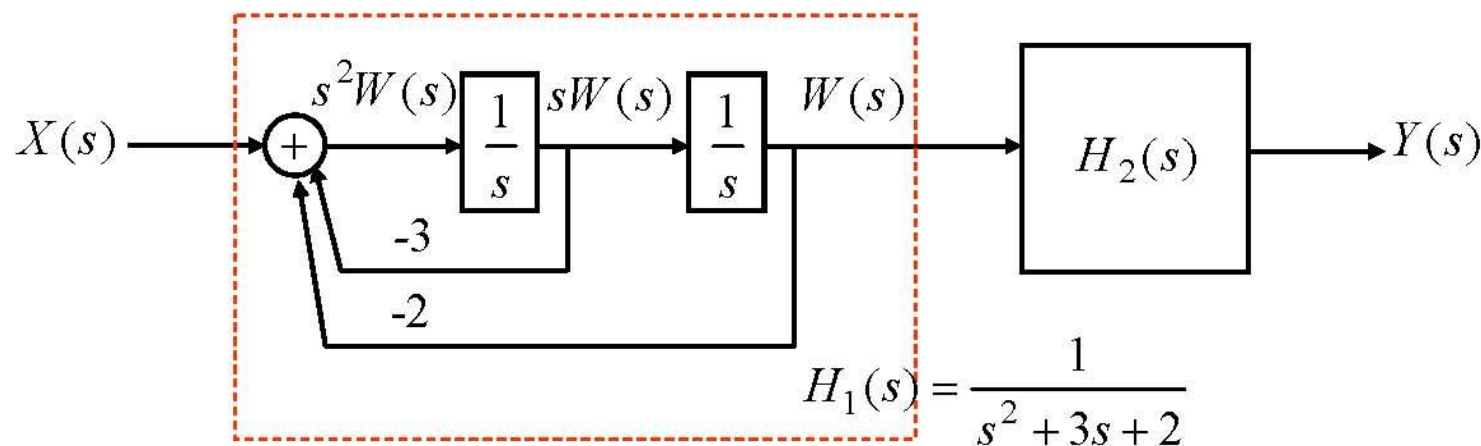
直接II型

$$y''(t) + 3y'(t) + 2y(t) = x(t)$$

$$y''(t) = x(t) - 2y(t) - 3y'(t)$$



例 (2) $H(s) = \frac{2s^2 + 4s - 6}{s^2 + 3s + 2} = \frac{1}{s^2 + 3s + 2} \cdot (2s^2 + 4s - 6) = H_1(s) \cdot H_2(s)$



$H_2(s) = 2s^2 + 4s - 6 \Rightarrow Y(s) = (2s^2 + 4s - 6)W(s) \Rightarrow Y(s) = 2s^2W(s) + 4sW(s) - 6W(s)$

